

УДК 517.584

ВЛИЯНИЕ ДИСБАЛАНСА НА ДИНАМИКУ ЦЕНТРИФУГИ

В.М. Замятин, В.А. Дубовик

Томский политехнический университет

E-mail: zvm@tpu.ru

Рассмотрены колебания центрифуги, подвешенной в упругом подвесе. Исследованы движения системы с 3-мя степенями свободы. При наличии дисбаланса получены уравнения движения ротора, определена траектория, описываемая его осью.

Любая механическая система, включающая в себя вращающееся тело, в той или иной мере, совершает колебательные движения. В зависимости от податливости подвеса система может иметь различное количество степеней свободы и различное количество собственных частот. Движение механической системы, у которой ротор установлен посередине подшипниковых узлов, рассмотрено довольно широко [1, 2]. В данной статье рассматриваются колебания системы, которые обусловлены вращением консольно закрепленного ротора со смещенным центром масс.

Центрифуга, рис. 1, состоит из тяжелого, полого, без одной торцевой стенки цилиндра (корпуса) – 2 подвешенного на 4-х пружинах – 1 в горизонтальном положении. Через центр торца проходит ось еще одного тонкостенного полого цилиндра (барабана) – 3, без соприкосновения, входящего в полость первого. К боковой стенке барабана, вращающегося со скоростью Ω , размещается груз – 4. Уравнения движения системы составим с помощью уравнений Лагранжа 2-ого рода [3].

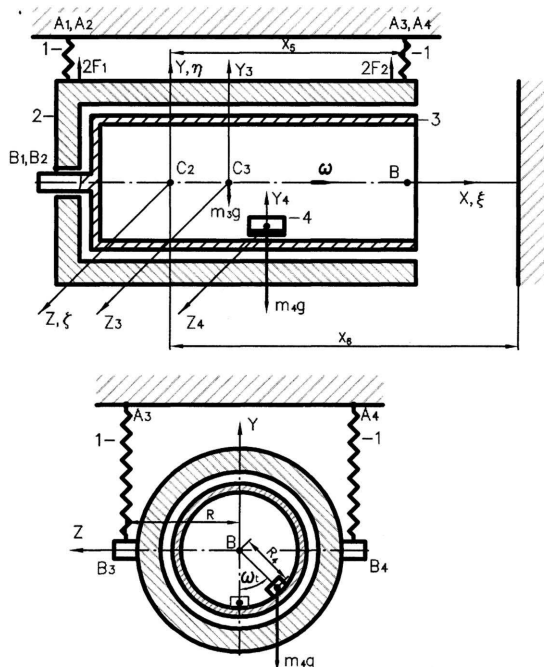


Рис. 1. Схема центрифуги

Введем обозначения:

$k, m_2, m_3, m_4, I_{x1}, I_{y1}, I_{z1}, I_{x2}, I_{y2}, I_{z2}, I_{x3}, I_{y3}, I_{z3}, I_{x4}, I_{y4}, I_{z4}$ ($i=2,3,4$), R, x_6 – коэффициент упругости, массы, осевые и цен-

тробежные моменты инерции корпуса, барабана, груза, радиус вращения центра тяжести груза и абсцисса среза экрана.

Оси координат ξ, η, ζ – неподвижные, x, y, z – жестко связаны с корпусом. Начало осей координат находится в статическом положении равновесия центра тяжести C_2 корпуса (рис. 1). Координаты центра тяжести корпуса и точек крепления пружин в системе x, y, z : $C_2(0, 0, 0)$; $C_3(x_3, 0, 0)$; $C_4(x_4, -R_4 \cos \Omega t, -R_4 \sin \Omega t)$; $B_1(-x_1, 0, R)$; $B_2(-x_1, 0, -R)$; $B_3(x_3, 0, R)$; $B_4(x_3, 0, -R)$. Координаты точек крепления пружин в системе координат ξ, η, ζ : $A_1 B_1 = A_2 B_2 = l_1$; $A_3 B_3 = A_4 B_4 = l_2$; $A_1(-x_1, l_1, R)$; $A_3(x_3, l_2, R)$; $A_2(-x_1, l_1, -R)$; $A_4(x_3, l_2, -R)$, статическое удлинение пружин: $\lambda_{1cm} = \lambda_{2cm}$; $\lambda_{3cm} = \lambda_{4cm}$.

За обобщенные координаты примем смещение точки C_2 ξ, η, ζ . Углы Эйлера-Крылова, определяющие ориентацию корпуса: ψ – рыскания; Θ – дифферента; φ – крена.

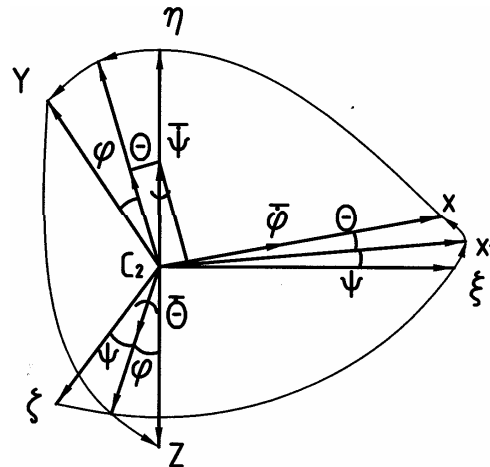


Рис. 2. Углы Эйлера-Крылова

Переход от системы координат x, y, z к системе координат ξ, η, ζ осуществляется преобразованием [4]:

$$\begin{aligned} \xi &= \xi_{C2} + x \cos \psi \cos \Theta + \\ &+ \varphi (\sin \psi \sin \varphi - \cos \psi \cos \varphi \sin \Theta) + \\ &+ z (\sin \psi \cos \varphi + \cos \psi \sin \varphi \sin \Theta); \\ \eta &= \eta_{C2} + x \sin \Theta + y \cos \Theta \cos \varphi - z \cos \Theta \sin \varphi; \\ \zeta &= \zeta_{C2} - x (\sin \psi \cos \Theta) + \\ &+ y (\cos \psi \sin \varphi + \sin \psi \cos \varphi \sin \Theta) + \\ &+ z (\cos \psi \cos \varphi - \sin \psi \sin \varphi \sin \Theta). \end{aligned}$$

Проекции угловой скорости корпуса ω_2 на оси x, y, z .

$$\begin{aligned}\omega_{2x} &= \dot{\psi} \sin \Theta + \dot{\varphi}; \\ \omega_{2y} &= \dot{\psi} \cos \Theta \cos \varphi + \dot{\Theta} \sin \varphi; \\ \omega_{2z} &= -\dot{\psi} \cos \Theta \sin \varphi + \dot{\Theta} \cos \varphi.\end{aligned}$$

При малых углах ψ, Θ, φ преобразование координат x, y, z в координаты ξ, η, ζ неподвижной системы отсчета имеет вид

$$\left. \begin{aligned}\xi &= \xi_{C2} + x - \Theta y + \psi z; \\ \eta &= \eta_{C2} + \Theta x + y - \varphi z; \\ \zeta &= \zeta_{C2} - \psi x + \varphi y + z.\end{aligned} \right\}$$

При малых углах отклонения корпуса проекции угловой скорости имеют вид

$$\omega_{2x} = \dot{\varphi}; \quad \omega_{2y} = \dot{\psi}; \quad \omega_{2z} = \dot{\Theta}.$$

Кинетическая энергия корпуса T_2 до малых 2-ого порядка включительно имеет вид

$$\begin{aligned}T_2 &= \frac{1}{2} m_2 (\dot{\xi}_{C2}^2 + \dot{\eta}_{C2}^2 + \dot{\zeta}_{C2}^2) + \\ &+ \frac{1}{2} (I_{x2} \dot{\varphi}^2 + I_{y2} \dot{\psi}^2 + \dot{\xi}_{C2}^2 + \dot{\Theta}^2 - 2 I_{xz2} \dot{\varphi} \dot{\Theta}) - \\ &- 2 I_{xy2} \dot{\varphi} \dot{\psi} - 2 I_{yz2} \dot{\psi} \dot{\Theta}).\end{aligned}$$

Если ось x – главная центральная ось инерции и моменты инерции корпуса $I_{y2} = I_{z2} = I_{2p}$, то

$$T_2 = \frac{1}{2} m_2 (\dot{\xi}_{C2}^2 + \dot{\eta}_{C2}^2 + \dot{\zeta}_{C2}^2) + \frac{1}{2} (I_{x2} \dot{\varphi}^2 + I_{2p} (\dot{\psi}^2 + \dot{\Theta}^2)).$$

Кинетическая энергия барабана T_3 . Оси x_3, y_3, z_3 – жестко связаны с барабаном. Моменты инерции $I_{y3} = I_{z3} = I_{3p}$. Ось x_3 – главная центральная ось инерции, то $I_{xy3} = I_{xz3} = 0$.

Угловые скорости вращения барабана имеют вид: $\vec{\omega}_3 = \vec{\omega}_{3e} + \vec{\omega}_{3r}$; $\vec{\omega}_{3e} = \vec{\omega}_2$; $\vec{\omega}_{3r} = \Omega$, где $\vec{\omega}_{3e}$, $\vec{\omega}_{3r}$ – переносная и относительная угловые скорости [3].

Проекции угловой скорости $\vec{\omega}_3$ на оси на ось x_3, y_3, z_3 .

$$\begin{aligned}\omega_{3x3} &= \omega_{2x} + \Omega = \dot{\varphi} + \Omega; \\ \omega_{3y3} &= \omega_{2y} \cos \Omega t + \omega_{2z} \sin \Omega t = \dot{\psi} \cos \Omega t + \dot{\Theta} \sin \Omega t; \\ \omega_{3z3} &= \omega_{2z} \cos \Omega t - \omega_{2y} \sin \Omega t = \dot{\Theta} \cos \Omega t - \dot{\psi} \sin \Omega t.\end{aligned}$$

Предполагая, что все оси являются главными центральными осями инерции, кинетическую энергию барабана можно представить в виде

$$\begin{aligned}T_3 &= \frac{1}{2} m_3 [\dot{\xi}_{C2}^2 + (\dot{\eta}_{C2} + \dot{\Theta} x_3)^2 + (\dot{\zeta}_{C2} - \dot{\psi} x_3)^2] + \\ &+ \frac{1}{2} [I_{x3} (\dot{\varphi} + \Omega)^2 + I_{3p} (\dot{\psi}^2 + \dot{\Theta}^2)];\end{aligned}$$

где:

$$\begin{aligned}\xi_{C3} &= \xi_{C2} + x_3; \quad \eta_{C3} = \eta_{C2} + \Theta x_3; \quad \zeta_{C3} = \zeta_{C2} - \psi x_3. \\ I_{y3} \omega_{3y3}^2 + I_{z3} \omega_{3z3}^2 &= I_{3p} (\omega_{3y3}^2 + \omega_{3z3}^2) = I_{3p} (\dot{\psi}^2 + \dot{\Theta}^2).\end{aligned}$$

Определим кинетическую энергию груза T_4 . Оси x_4, y_4, z_4 связаны с грузом, параллельны осям x_3, y_3, z_3 и являются главными центральными осями инерции.

$$\vec{\omega}_4 = \vec{\omega}_3.$$

$$\begin{aligned}\omega_{4x4} &= \dot{\varphi} + \Omega; \quad \omega_{4y4} = \dot{\psi} \cos \Omega t + \dot{\Theta} \sin \Omega t; \\ \omega_{4z4} &= \dot{\Theta} \cos \Omega t - \dot{\psi} \sin \Omega t. \\ \xi_{C4} &= \xi_{C2} + x_4 + \Theta R_4 \cos \Omega t - \psi R_4 \sin \Omega t; \\ \eta_{C4} &= \eta_{C2} + \Theta x_4 - R_4 \cos \Omega t + \varphi R_4 \sin \Omega t; \\ \zeta_{C4} &= \zeta_{C2} - \psi x_4 - \varphi R_4 \cos \Omega t - R_4 \sin \Omega t. \\ T_4 &= \frac{1}{2} m_4 (\dot{\xi}_{C4}^2 + \dot{\eta}_{C4}^2 + \dot{\zeta}_{C4}^2) + \frac{1}{2} (I_{x4} (\dot{\varphi} + \Omega)^2 + I_{4p} (\dot{\psi}^2 + \dot{\Theta}^2)).\end{aligned}$$

Для квадратного сечения груза моменты инерции $I_{4y} = I_{4z} = I_{4p}$. Общая кинетическая энергия системы $T = T_2 + T_3 + T_4$.

$$\begin{aligned}T &= \frac{1}{2} m_2 (\dot{\xi}_{C2}^2 + \dot{\eta}_{C2}^2 + \dot{\zeta}_{C2}^2) + \frac{1}{2} (I_{x2} \dot{\varphi}^2 + I_{3p} (\dot{\psi}^2 + \dot{\Theta}^2)) + \\ &+ \frac{1}{2} m_3 [\dot{\xi}_{C2}^2 + (\dot{\eta}_{C2} + \dot{\Theta} x_3)^2 + (\dot{\zeta}_{C2} - \dot{\psi} x_3)^2] + \\ &+ \frac{1}{2} [I_{x3} (\dot{\varphi} + \Omega)^2 + I_{3p} (\dot{\psi}^2 + \dot{\Theta}^2)] + \\ &+ \frac{1}{2} m_4 (\dot{\xi}_{C4}^2 + \dot{\eta}_{C4}^2 + \dot{\zeta}_{C4}^2) + \frac{1}{2} [I_{x4} (\dot{\varphi} + \Omega)^2 + I_{4p} (\dot{\psi}^2 + \dot{\Theta}^2)].\end{aligned}$$

Общая потенциальная энергия системы, состоящая из потенциальной энергии поля силы тяжести Π_{mg} и потенциальной энергии пружин Π_{np} , с точностью до малых 2-ого порядка имеет вид:

$$\begin{aligned}\Pi &= \Pi_{mg} + \Pi_{np} = \frac{1}{2} k [\lambda_{cm} - \eta_{C2} + x_1 \Theta + R \varphi]^2 + \\ &+ \frac{1}{2} k [\lambda_{2cm} - \eta_{C2} + x_1 \Theta - R \varphi]^2 + \\ &+ \frac{1}{2} k [\lambda_{3cm} - \eta_{C2} - x_5 \Theta + R \varphi]^2 + \\ &+ \frac{1}{2} k [\lambda_{4cm} - \eta_{C2} - x_5 \Theta - R \varphi]^2 - \frac{1}{2} k \sum_{i=1}^4 \lambda_{ci}^2 + \\ &+ (m_2 + m_3 + m_4) g \eta_{C2} + (m_3 x_3 + m_4 x_4) g \Theta + \\ &+ m_4 g R_4 \varphi \sin \Omega t - m_4 g R_4 \cos \Omega t.\end{aligned}$$

Отсюда получаем выражения для обобщенных сил:

$$\begin{aligned}Q_{\eta_{C2}} &= -4k \eta_{C2} + 2k \Theta (x_1 - x_5); \\ Q_{\Theta} &= 2k (x_1 - x_5) \eta_{C2} - 2k (x_1^2 + x_5^2) \Theta; \\ Q_{\varphi} &= -4k R^2 \varphi - m_4 g R_4 \sin \Omega t.\end{aligned}$$

Произведя вычисления необходимые для уравнения Лагранжа 2-ого рода, получаем уравнения движения центрифуги:

$$\begin{aligned}(m_2 + m_3 + m_4) \ddot{\eta}_{C2} + (m_3 x_3 + m_4 x_4) \ddot{\Theta} + \\ + m_4 R_4 \Omega^2 \cos \Omega t + m_4 \ddot{\varphi} R_4 \sin \Omega t + \\ + 2m_4 \dot{\varphi} R_4 \Omega \cos \Omega t - m_4 \varphi R_4 \Omega^2 \sin \Omega t = \\ = 2k (x_1 - x_5) \Theta - 4k \eta_{C2};\end{aligned} \quad (1)$$

$$\begin{aligned} (m_3x_3 + m_4x_4)\ddot{\eta}_{C2} + (m_3x_3^2 + m_4x_4^2 + I_3 + I_{33} + I_{43})\ddot{\Theta} + \\ + m_4[R_4\Omega^2\cos\Omega t - \ddot{\varphi}R_4\sin\Omega t + \\ + 2\varphi R_4\Omega\cos\Omega t - \varphi R_4\Omega^2\sin\Omega t] = \end{aligned} \quad (2)$$

$$= 2k(x_1 - x_5)\eta_{C2} - 2k(x_1^2 + x_5^2)\Theta;$$

$$\begin{aligned} m_4R_4(\ddot{\eta}_{C2} + \ddot{\Theta}x_4)\sin\Omega t + \\ + \ddot{\varphi}(m_4R_4^2 + I_x + I_{x3} + I_{x4}) - m_4\varphi R_4^2\Omega^2 = \end{aligned} \quad (3)$$

$$= -4kR^2\varphi - m_4gR_4\sin\Omega t.$$

Кривая, описываемая концом оси барабана в системе координат ξ, η, ζ , характеризуется уравнениями:

$$\begin{aligned} \eta &= \eta_{C2} + \Theta x_6; \\ \zeta &= 0; \\ \xi &= x_6. \end{aligned}$$

Функции η_{C2}, Θ — находятся из дифференциальных уравнений движения (1–3).

Из уравнений видно, что для консольно закрепленного ротора с дисбалансом ось вращения описывает прямую линию.

СПИСОК ЛИТЕРАТУРЫ

1. Гусаров А.А. и др. Автоматическая балансировка роторов машин. — М.: Наука, 1979. — 306 с.
2. Нестеренко В.П. Автоматическая балансировка роторов приборов и машин со многими степенями свободы. — Томск, ТГУ, 1985. — 84 с.
3. Бутенин Н.В., Лунц Я.Л., Меркин Д.Р. Курс теоретической механики. — М.: 1985. — Т. 1, 2.
4. Корн Г., Корн Т. Справочник по математике для научных работников и инженеров. — М.: Наука, 1984.